

階層格子ボリュームデータの実時間可視化

藤原雅宏[†] 五島正裕[†]
森 眞一郎[†] 富田眞治[†]

本稿では、ボリュームスライス分割方式のボリュームレンダリング専用並列計算機における階層格子ボリュームデータの可視化手法について述べる。一般に、レイキャスティング法によるボリュームレンダリングは、ボリュームデータへの不連続なアクセスを伴い、その高速化を妨げている。そこで、視線のボリュームスライスへの入射順序を制御した上で、ボクセルデータへのアクセス機構を付加することにより、構造化されたボリュームスライスからの高速なボクセルデータの取得を可能とする手法を示した。

Realtime Visualization Method for Hierarchical Grid Volume Data

MASAHIRO FUJIHARA,[†] MASAHIRO GOSHIMA,[†] SHIN-ICHIRO MORI[†]
and SHINJI TOMITA[†]

In this paper, we describe a visualization method for hierarchical grid volume data on the volume-slice type volume rendering machine. In general the ray-casting algorithm causes random memory access on the volume-slice, and it prevents high-speed processing. In order to solve this problem, we proposed the high-speed access method to the structured volume-slice by controlling ray penetration order and additional access mechanism.

1. はじめに

ボリュームレンダリング法は、3次元データの内部構造の可視化が可能であるため、医療画像の生成や科学技術計算結果の解析のための有力な手法として注目されている。

しかしながら、ボリュームレンダリングを行うための計算量は大きく、高速な可視化は困難である。そのため、従来から *ReVolver/C40*¹⁾ や *CUBE*²⁾ などボリュームレンダリングに特化したさまざまな専用並列計算機の開発が行われてきた。これらの専用並列計算機では、立方体格子上でサンプリングされたボリュームデータを対象とした実時間での可視化処理を実現している。

一方、近年のCTやMRIなどに代表される3次元医療計測機器の進歩により、1024³ボクセルの高解像度ボリュームデータを取得することが可能になるなど³⁾、可視化すべきボリュームデータの大きさは増大する傾向にあり、それに伴いデータの取り扱いが困難になりつつある。

そのような巨大なボリュームデータを効率的に扱う

ために、サンプリング格子の密度を適応的に変えることにより、ボリューム空間をその重用度に応じた解像度で表現することができる階層格子構造は有力なボリュームデータの表現手法とされている⁴⁾。

本稿では、ボリューム空間をボリュームスライスと呼ばれる2次元平面の集合として扱うボリュームスライス分割方式のボリュームレンダリング専用並列計算機上で、レイキャスティング法を用いた階層格子ボリュームデータの可視化手法を提案する。

以下、2章では、ボリュームスライスの格納に用いるデータ構造とその特性について述べ、3章で、ボクセルデータへのアクセス順序を制御するための視線入射順制御の提案を行い、4章において、視線入射順制御に基づいて効率的なボクセルデータへのアクセスを行うボクセルデータアクセス機構の提案を行い、5章において、提案手法の有効性を医療画像を用いて評価する。最後に6章において本論文をまとめる。

2. ボリュームスライス分割とその表現

ボリュームスライス分割方式のボリュームレンダリング専用並列計算機では、各ボリュームスライスにプロセッサエレメントを割り当てることによりスライス間の並列性を抽出し、高速に可視化処理を行うことができる¹⁾。この方式をとる計算機のモデルを図1に

[†] 京都大学大学院工学研究科情報工学教室
Department of Information Science, Graduate School
of Engineering, Kyoto University

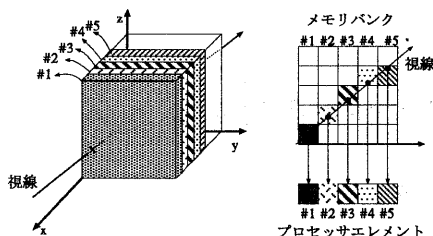


図1 ボリュームスライス分割方式

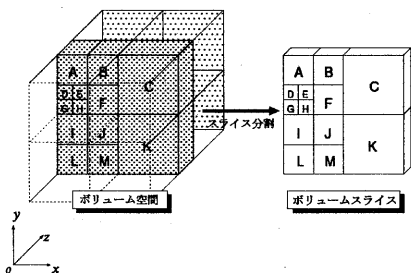


図2 Octree 構造のボリュームスライス分割

示す。

2.1 ボリュームデータ

階層格子ボリュームデータは、解像度が異なる複数の立方体格子系により構成される。代表的なものに octree 構造があり、この構造は空間の 8 等分割を繰り返すことにより構成され、空間中のデータの分布に応じて格子の密度を変えることができる⁵⁾。

2.2 ボリュームスライス分割

ボリュームスライス分割方式では、3次元のボリュームデータから2次元のボリュームスライスを抽出する必要がある。

直方体格子で構成されるボリュームデータを x 軸に垂直な平面でスライス分割する場合、ボリューム空間内の座標 (x, y, z) に位置するボクセルデータは、 n 番目のボリュームスライス上の座標 (n, y, z) に格納される。このスライス分割を y, z 軸にも適用することで、任意の方向からの視線に対して可視化処理を行うことができる。また、階層格子構造を持つボリュームデータの場合においても、格子構造に応じたスライス分割処理を行うことにより、ボリュームスライスを抽出することができる。

以後の議論では、図2のように octree 構造を持つボリュームデータから抽出されたボリュームスライスについて述べる。

2.3 ボリュームスライスの表現

従来のボリュームレンダリング専用並列計算機では、抽出されたボリュームスライスは正方格子に分割され、2次元配列に格納されてきた。しかしながら、この手法ではボリュームデータ量が增大してしまい階層格子構造で表現された巨大なデータを格納することは困

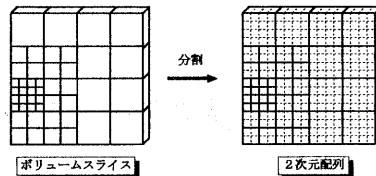


図3 2次元配列構造への分割

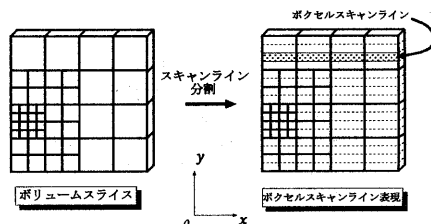


図4 ボクセルスキャンラインへの分割

難となる。従って、本稿ではランレングス構造および quad-tree 構造を用いて、ボリュームスライスを構成することによりデータサイズの減少を図る。

2.3.1 2次元配列構造

2次元配列構造は、ボリュームスライスを表現する最も基本的な構造である。図3のように、階層格子を構成する最も密度の高い格子でボリュームスライスを等分割することにより構成される。本稿では、この格子の大きさを最密格子サイズと呼ぶ。

一般に、2次元配列構造はメモリ上の連続したアドレス空間に格納される。従って、配列の大きさが決まればボクセルデータの格納アドレスも決まるため、スライス上の任意の座標のボクセルデータへの高速なアクセスが可能である。

2.3.2 ランレングス構造

ランレングス構造は、ボクセルデータと同一ボクセルデータが連続して現れる長さであるラン長からなるランの集合である⁶⁾。本稿では図4のようにボリュームスライスを最密格子サイズで x 軸方向に分割する。この分割されたデータをボクセルスキャンラインと呼び、ランレングス構造を用いてメモリ上に格納する。全ボクセルスキャンラインをランレングス構造で表現することでボリュームスライスを構成する(図5)。

ランレングス構造で表されたボクセルデータへのアクセスには、ボクセルスキャンライン上での順次アクセスが向いており、ボクセルデータに対するランダムアクセスが行われた場合は、目的のボクセルに到達するために、ボクセルの x 座標値に比例した数のランを読み飛ばす必要があるため、効率が悪くなる。

2.3.3 quad-tree 構造

quad-tree 構造は、図6のようにボリュームスライスを4分割し、ボクセルデータを木の節点の各要素に割り当て、さらに分割が必要な領域に関しては4分割

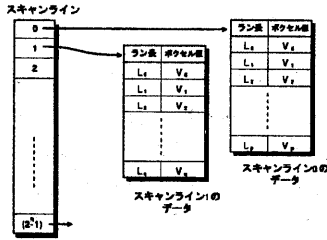


図5 ランレングス構造

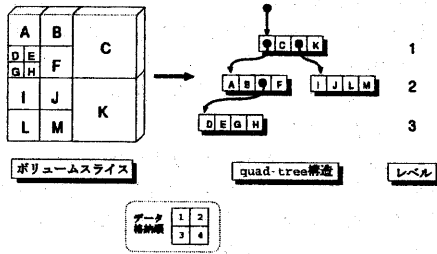


図6 ボリュームスライスの quad-tree 表現

を繰り返すことにより平面を構成する構造である⁵⁾。本稿では、quad-tree 構造においてスライスの分割回数をレベルと呼び、最上位層から順にレベル1, 2, ..., n と定義する(図6)。また、各節点は4つの要素を持ち、下位レベルの節点へのリンクもしくはボクセルデータを格納する。

quad-tree 構造は、親子、兄弟関係にある節点へのアクセスには向いているが、ランダムアクセスには向かない。一般に木の高さに比例した時間を要する。

3. 視線入射順制御

レイキャスティング法でボリュームレンダリングを行う場合、スクリーン上の各ピクセルに対して、視点とピクセルをつらぬく視線ベクトルが通るボクセルデータを各ボリュームスライスから読み出す処理(サンプリングと呼ぶ)が必要である。しかしながら、レイキャスティング法により生じた視線ベクトルは一般に視点、ピクセルおよびボリューム空間の位置関係により変化するため、ボリュームスライス上の各データ構造に対するランダムアクセスが生じる。

2次元配列構造では、ランダムアクセスに対しても高速なボクセルデータへのアクセスが可能であるが、ランレングス構造およびquad-tree 構造においては、2.3節で述べたように各データ構造に適応した順序のみ高速なデータへのアクセスが可能である。そのため、これらの構造へのランダムアクセスが必要なレイキャスティング法では、処理速度の低下が避けられない。

本章では、視線のボリュームスライスへの入射順序を制御することにより、ボリュームスライス上をつら

ぬく視線が描く軌跡を常にボクセルスキャンラインに平行にすることで、高速化を図る手法を提案する。

3.1 視線ベクトルの生成

図7のように、スクリーン座標における水平および垂直方向の単位ベクトルを、 S_h, S_v とし、視点からスクリーンの左上^{*}に向うベクトルを S_b とする。ここで、スクリーン座標が (s_x, s_y) であるピクセルに対する視線ベクトルを R とすると、 R は次式で表される。

$$R = S_b + s_x S_h + s_y S_v$$

この視線生成処理をスクリーンのスキャンライン順に行うと、ボリュームスライスに任意方向の視線が入射することになる。

3.2 視線入射順制御

ボリュームデータは、図7のように各座標軸に垂直に置かれており、ある座標軸(図ではz軸)に垂直な平面によってボリュームスライスに分割されているとする。また、座標原点からスクリーンの左上へのベクトルを $S_b = (b_x, b_y, b_z)$ 、スクリーンの水平方向の単位ベクトルを $S_h = (h_x, h_y, h_z)$ 、スクリーンの垂直方向の単位ベクトルを $S_v = (v_x, v_y, v_z)$ と定義する。

ここで、実際のスクリーンに対し、仮想スクリーンを想定する。仮想スクリーン上の座標 (p, q) に対してq番目のスキャンラインに透視投影されるボクセルは、次の写像 f によりボリュームスライス上でx軸に平行な軌跡を持つボクセルスキャンラインを生成する。

$$f: \begin{pmatrix} S_x \\ S_y \end{pmatrix} = \begin{pmatrix} 1 & 0 \\ k_z & -1 \end{pmatrix} \begin{pmatrix} p \\ q \end{pmatrix}$$

ここで k_z は、

$$k_z = \frac{\begin{vmatrix} h_y & h_x \\ b_y & b_x \end{vmatrix}}{\begin{vmatrix} v_y & v_x \\ b_y & b_x \end{vmatrix}}$$

とする。

従って、仮想スクリーン上のスキャンラインにそって視線を生成することにより、任意のボリュームスライスに対して常にボクセルスキャンライン方向に視線を入射することができる。

4. ボクセルデータアクセス機構

視線入射順制御を行うことにより、ボリュームスライスに対するx軸方向の空間的なアクセスの連続性を仮定することができる。本章ではこの連続性を利用し、プロセッサとボリュームメモリとの間に、ボクセルデータアクセス機構を付加することにより、高速なボクセルデータのサンプリングを可能にする手法について提案する。

4.1 ランレングス構造からのサンプリング

アクセス連続性の仮定より、直前のサンプリング時に求めたランの絶対座標を記憶しておき、新たにサン

* スクリーンの左上を、スクリーン座標における原点とする。

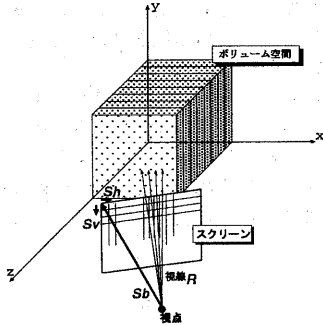


図7 透視投影法によるレイキャスティング

プリングするデータの絶対座標と比較することにより、ボクセルデータ読み出しに要するメモリアクセス回数の削減が期待できる。

4.1.1 サンプル方式

直前のサンプリングを行った後のランの位置を示す X_{pos} と、そのランが占める領域を表す x 座標の上限値 X_{max} をそれぞれ記憶しておき、新たにサンプリングするボクセルの座標を (X, Y) とするとき、次のようにボクセルデータの取得を行う。

- $X \leq X_{max}$ のとき
 X_{pos} のランを持つボクセルデータが求めるボクセルデータである。
- $X > X_{max}$ のとき
 X_{pos} を次のランの位置に移動後、新たなランをメモリから読み出し、 X_{max} に新たに読み出したラン長を加え、 $X \leq X_{max}$ となるまで上記の処理を繰り返す。

レイキャスティング法では通常、任意のボクセルスキャンラインに対して視線が到達するため X_{pos} , X_{max} を保持するための記憶領域が 2^n 個必要となるが、視線の入射順序を制御することにより、1個に抑えることができる。従って、ハードウェア化を考慮した場合、大幅なハードウェア量の削減につながる。

4.1.2 メモリアクセス特性

各スキャンラインで最初にボクセルデータを取得する際に、 x 座標値に比例した回数のメモリアクセスが必要である。

2度目以降は、1度目のサンプリング時に得た情報を基に相対的にボクセルデータが検索される。このとき、ボリュームメモリへの平均アクセス回数は次のようになる。

- 視線の入射間隔 $\Delta R \leq$ 最密格子サイズ Δg のとき
 視点が多量空間に近付いているときや、ボクセルの解像度がボクセルの解像度比べて高いときに生じる。平行投影法の場合は、ボクセルのサンプリングは $\Delta g / \Delta R$ 回に1度メモリへのアクセスを必要とする。
- 視線の入射間隔 $\Delta R >$ 最密格子サイズ Δg のとき

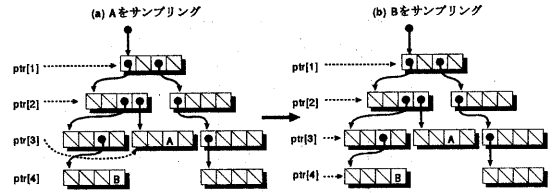


図8 quad-tree 構造からのサンプリング

ボリューム空間を遠方から眺めているときや、ボクセルの解像度がピクセルに対して高いときに生じる。1度のサンプリングで $\Delta R / \Delta g$ 個のボクセルを読み飛ばす必要がある。従って、平均ラン長を L とするとき、平均 $\frac{\Delta R / \Delta g}{L}$ 回のメモリアクセスが必要となる。

4.2 quad-tree 構造からのサンプリング

図8のように、サンプリングの際に quad-tree の各レベルで訪れた節点へのポイントを記憶しておき、その情報から新たにサンプリングするボクセルデータが存在するアドレスを求めることによりメモリアクセス回数の削減を図る。

4.2.1 サンプル方式

直前にサンプリングしたボクセルのレベルを V_L 、座標を (x, y) 、新たにサンプリングするボクセルの座標を (X, Y) 、ボリューム空間の1辺の大きさを 2^n とする。ボクセルの X 座標値について最上位 bit からの連続した一致 bit 数を算出し、 k bit まで一致した場合、次のようにボクセルデータの取得を行う。

- $k \geq V_L$ の場合
 前回サンプリングした点と、新たにサンプリングする点は、同じボクセルデータを持つので、新たに読み出す必要はない。
- $k < V_L$ の場合
 前回のサンプリング時に記憶していたレベル $(k+1)$ の節点へのポイントから quad-tree を探索することで、新しいサンプリング座標のボクセルデータを得ることができる。

4.2.2 メモリアクセス特性

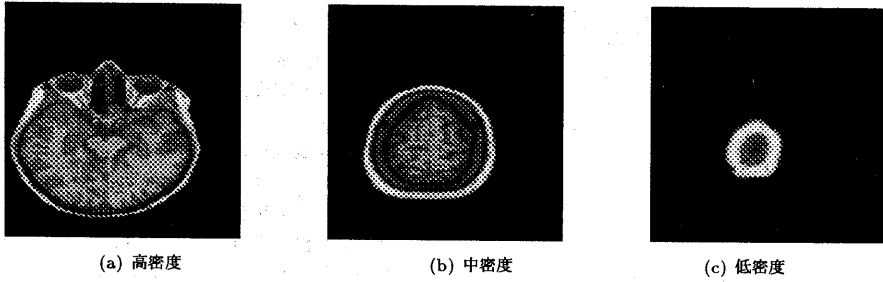
本手法でボクセルデータを取得する場合、次のメモリアクセス回数で、ボクセルデータを取得することができる。

$$\max(\text{データのレベル} - k, 0) \text{ 回}$$

ここでデータのレベルは、新たにサンプリングするデータが格納されている quad-tree 上でのレベルである。

5. 提案手法の評価

本章では、2次元配列構造、ランレンクス構造、quad-tree 構造の3つのデータ構造について、ボリュームスライスを表現するために必要なデータサイズ、



(a) 高密度 (b) 中密度 (c) 低密度

図9 評価に用いたボリュームスライス

ボリュームデータの密度	データ構造	要素数 (個)	要素あたりのサイズ (byte/個)	管理領域サイズ (byte)	合計データサイズ (byte)
(a) 高密度	2次元配列構造	65536	1	2	65538
	ランレングス構造	19201	2	514	38916
	quad-tree 構造	8382	8	2	67058
(b) 中密度	2次元配列構造	65536	1	2	65538
	ランレングス構造	11725	2	514	23964
	quad-tree 構造	4956	8	2	39650
(c) 低密度	2次元配列構造	65536	1	2	65538
	ランレングス構造	2937	2	514	6388
	quad-tree 構造	1162	8	2	9298

表1 ボリュームスライスのデータ量

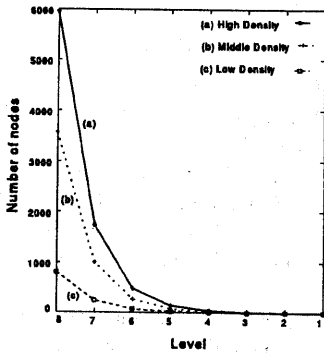


図10 quad-tree レベル別節点数

ボクセルデータを取得するために要するメモリアクセス回数という観点から、人間の頭部のボリュームデータ*を用いた評価を行うことによりその有効性を確かめる。また、評価にはボリュームデータに占める物体の割合が異なる3つのボリュームスライスを用いた(図9)。

5.1 データサイズ

図9に示すボリュームスライスを、各構造で表現するために要したデータサイズを表1**に示す。

* 256³ボクセル, 256階調

** 表中の要素あたりのサイズは、ボクセルデータ格納サイズ、ラン長格納サイズ、ポインタ格納サイズをそれぞれ1, 1, 2 byteとして算出した。

ランレングス構造による圧縮の結果、2次元配列構造に対して密度により9.7%~59.4%のデータサイズで格納された。一方、quad-tree構造では14.2%~102.3%となり、高密度のボリュームスライスにおいてデータサイズが2次元配列構造を越える結果となった。これは、quad-tree構造のデータサイズが、ポインタの格納に要するデータサイズに比例することが原因である。

しかしながら、図10よりquad-tree構造の節点の大部分は最大レベルのボクセルデータであり、それらにはもはや分割する必要がないので、ポインタを格納するための領域は必要なく、要素あたりのサイズを4byteにすることができる。この点を考慮すると各密度におけるquad-tree構造を格納するために必要なデータサイズは、それぞれ43228, 25392, 6056byteとなり2次元配列構造に対して9.2%~66.0%のデータサイズで格納することが可能である。

5.1.1 メモリアクセス回数の評価

密度の高い(図9(a))のボリュームスライスに入射する視線の間隔とサンプリングに要した平均メモリアクセス回数との関係を図11に示す。

スクリーンとボリュームデータの解像度のバランスがとれる視線間隔1のときの階層格子へのアクセス回数は、ランレングス構造(図11(b))においては平均0.3回となり、2次元配列構造(図11(a))よりも高速化された。また、quad-tree構造(図11(d))の場合は平均1.3回となる。これは、一般的な運用状況において、従来の2次元配列を用いた実時間可視化システ

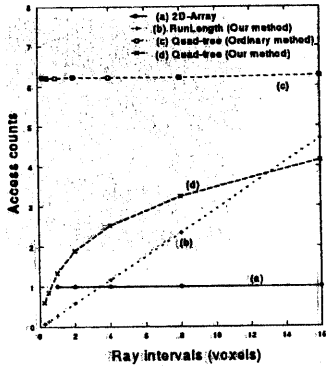


図 11 平均メモリアクセス回数

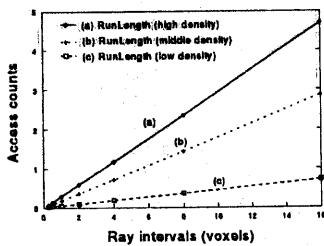


図 12 密度別平均メモリアクセス回数 (ランレンクス構造)

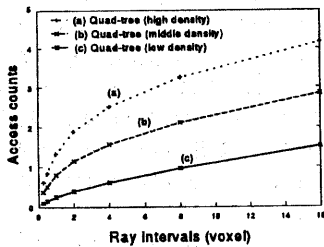


図 13 密度別平均メモリアクセス回数 (quad-tree 構造)

ムに本稿が提案する手法を用いて階層格子ボリュームデータの可視化を行った場合、十分な可視化速度を得ることができることを示している。

また、ランレンクス構造(図 11(b))では視線間隔に比例する回数でアクセスが増加する。従って、視線間隔が広がるにつれ可視化速度も比例して低下してしまう。このことは、巨大なボリュームデータの全体像を観測する場合に問題を引き起こす。一方、quad-tree 構造では本稿で提案した手法により、視線間隔によるメモリアクセス回数の増加を抑えることができた(図 11(d))。

一方、図 12, 13 はボリュームデータの密度変化によるアクセス数の変化を示している。これらの図は局部的に高い密度を持つボリュームデータを効率的に可視化していることを表している。

6. まとめ

本稿では、ボリュームスライス分割方式のボリュームレンダリング専用並列計算機における、階層格子ボリュームデータの可視化手法について述べた。

ボリュームスライス表現するためのデータ構造として、従来の 2 次元配列構造に加えてランレンクス構造、quad-tree 構造の適用を行った。また、レイキャスティング法によりこれらの構造からボクセルデータを取得するためのサンプリング機構を設けた上で、視線入射順制御を行うことによりボクセルデータに高速にアクセスできることが明らかとなった。

また、ランレンクス構造でボリュームスライスを持続した場合、その可視化速度は視線間隔の影響を受けやすい。そのため、ボリュームデータの狭い範囲を重点的に観測する場合には高速な可視化が行える反面、大域的な観測を行う場合には大幅な速度低下を伴う。一方、quad-tree 構造は視線間隔による影響を受けにくく、広い範囲の観測において実用的な可視化性能を得ることができた。

謝 辞

日頃よりご討論いただく京都大学大学院工学研究科情報工学教室富田研究室の諸氏に感謝致します。

参考文献

- 1) 對馬雄次ほか: ボリュームレンダリング専用並列計算機 *ReVolver* のアーキテクチャ, 情報処理学会論文誌, Vol. 36, pp. 1709-1718 (1995).
- 2) Pfister, H., Kaufman, A. and Chiueh, T.: *Cube-3: A Real-Time Architecture for High-Resolution Volume Visualization*, In *1994 Workshop on Volume Visualization*, pp. 75-83 (1994).
- 3) BOER, M. et al.: Evaluation of a Real-time Direct Volume Rendering System, *Computer & Graphics*, Vol. 21, No. 2, pp. 189-198 (1997).
- 4) Nielson, G. et al.: *Scientific Visualization*, IEEE Computer Society Press (1997).
- 5) Samet, H. and Webber, R.: Hierarchical Data Structures and Algorithms for Computer Graphics, *IEEE Computer Graphics & Applications*, pp. 48-68 (1988).
- 6) Montani, C. and Scopigno, R.: Rendering Volumetric Data using the STICKS Representation Scheme, *SIGGRAPH '90*, Vol. 24, No. 5, pp. 87-93 (1990).